

I-165 帯板要素法によるボックスカルバートの応力解析について

室蘭工業大学 正員 能町 純雄

正員 松岡 健一

学生員 ○越後 薩一

1. はじめに

最近、交通量の増加に伴ない地下埋設構造物の設計、施工が多くなっている。従来、これら構造物は、横断方向にボックスラーメン構造とし、軸方向には弾性床上の梁として解析が行なわれてこようである。著者らは、ここにラーメン作用と壁面応力とを相關せながら帯板を弾性床上の板とみなして立体制的に応力解析を試みた。このためまず弾性床上板の帯板要素公式を示し、側壁と上板は普通平板の帯板要素公式に土圧による荷重項を加之、さらには内力に対する平面応力の帯板要素公式を考慮してボックスカルバートの立体制的応力解析を試みた。

2. 弹性床上板の帯板要素公式

弾性床上の板を各方向にn枚の帯板要素に分割し、帯板の幅は板の幅に比べて微小とし、地盤反力とたわみに比例する仮定すると弾性床上の板の微分方程式は $\Delta w = \frac{8-kw}{N}$ (k : 地盤反力係数) となる。

これら指数型フーリエ変換 $w = \frac{1}{\sqrt{\pi c}} \int_{-\infty}^{\infty} W_m e^{-imx} dm$ を適用し、考えて、まず帯板上に荷重がないとき、さらに各方向にフーリエ \sin 変換を行なうことにより、この微分方程式を解いて

$$w = Q^*(1-\bar{z})w_\lambda + Q^*(\bar{z})w_0 + \frac{P(1-\bar{z})}{c^2 \pi^2} \frac{M_\lambda^* \lambda^2}{N} + \frac{P(\bar{z})}{c^2 \pi^2} \frac{M_0^* \lambda^2}{N}$$

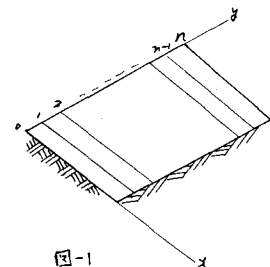


図-1

$$\Delta w = Q^*(1-\bar{z}) \left\{ -\frac{M_\lambda^*}{N} + \ddot{w}_\lambda \right\} + Q^*(\bar{z}) \left\{ -\frac{M_0^*}{N} + \ddot{w}_0 \right\} + \frac{P(1-\bar{z})}{c^2 \pi^2} \left\{ -\frac{\ddot{M}_\lambda^* \lambda^2}{N} + \ddot{w}_\lambda \cdot \lambda^2 \right\} + \frac{P(\bar{z})}{c^2 \pi^2} \left\{ -\frac{\ddot{M}_0^* \lambda^2}{N} + \ddot{w}_0 \cdot \lambda^2 \right\} + \frac{P(1-\bar{z})}{c^2 \pi^2} \frac{k}{N} \lambda^2 w_\lambda + \frac{P(\bar{z})}{c^2 \pi^2} \frac{k}{N} \lambda^2 w_0$$

ここで

$$P(\bar{z}) = \frac{\sinh \frac{\pi C}{\sqrt{2}}(2-\bar{z}) \sin \frac{\pi C}{\sqrt{2}} \bar{z} - \sinh \frac{\pi C}{\sqrt{2}} \bar{z} \sin \frac{\pi C}{\sqrt{2}}(2-\bar{z})}{\cosh \sqrt{2} \pi C - \cos \sqrt{2} \pi C}$$

$$Q(\bar{z}) = \frac{\cosh \frac{\pi C}{\sqrt{2}}(2-\bar{z}) \sin \frac{\pi C}{\sqrt{2}} \bar{z} - \sinh \frac{\pi C}{\sqrt{2}} \bar{z} \cos \frac{\pi C}{\sqrt{2}}(2-\bar{z})}{\cosh \sqrt{2} \pi C - \cos \sqrt{2} \pi C}$$

$$C = \sqrt{\frac{k}{N} \frac{\lambda^2}{t^2}}, \bar{z} = \frac{y}{\lambda}, M^* = -N \frac{d^2 w}{dy^2}, N = \frac{E t^3}{12(1-\nu^2)}$$

これらの式から、帯板の境界条件

$y = x$ のとき

$$M_{r,r+1} = \frac{N}{k \lambda} \left[\beta \theta_r + 2 \alpha \theta_{r+1} - \frac{\phi w_{r+1} - \psi w_r}{\lambda} \right] - \nu N \ddot{w}_r$$

$$M_{r,r+1} = -\frac{N}{k\lambda} \left[2\alpha\theta_r + \beta\theta_r - \frac{\varphi w_r - \phi w_{r+1}}{\lambda} \right] - \nu N \ddot{w}_r$$

せん断力

$$Q_{r,r+1} = \frac{(2JM_{r,r+1} - DM_{r,r+1}) - N(1-\nu)(2J\ddot{w}_{r+1} - D\ddot{w}_r)}{\lambda} + \lambda \left\{ (\beta\ddot{M}_{r,r+1} + 2\alpha\ddot{M}_{r+1,r}) - N(1-\nu)(\beta\ddot{w}_r + 2\alpha\ddot{w}_{r+1}) \right\}$$

$$Q_{r,r+1} = \frac{(DM_{r,r+1} - 2JM_{r,r+1}) - N(1-\nu)(D\ddot{w}_r - 2J\ddot{w}_{r+1})}{\lambda} - \lambda \left\{ (2\alpha\ddot{M}_{r+1,r} + \beta\ddot{M}_{r,r+1}) - N(1-\nu)(2\alpha\ddot{w}_{r+1} + \beta\ddot{w}_r) \right\}$$

$$\therefore 12 \\ A = \frac{\pi c}{H} \left(\cosh \frac{\pi c}{\sqrt{2}} \sin \frac{\pi c}{\sqrt{2}} - \sinh \frac{\pi c}{\sqrt{2}} \cos \frac{\pi c}{\sqrt{2}} \right), B = \frac{\pi c}{H} \left(\sinh \sqrt{2}\pi c - \sin \sqrt{2}\pi c \right)$$

$$D = \frac{\pi c}{H} \left(\sinh \sqrt{2}\pi c + \sin \sqrt{2}\pi c \right), J = \frac{\pi c}{H} \left(\cosh \frac{\pi c}{\sqrt{2}} \sin \frac{\pi c}{\sqrt{2}} + \sinh \frac{\pi c}{\sqrt{2}} \cos \frac{\pi c}{\sqrt{2}} \right)$$

$$H = \cosh \sqrt{2}\pi c - \cos \sqrt{2}\pi c, k = \beta^2 - 4\alpha^2, \varphi = 4\alpha J + \beta D, \phi = 2J\beta + 2\alpha D$$

3. 普通平板の帯板要素公式

帯板の境界 r 点

$$z-x \rightarrow \\ M_{r,r+1} = \frac{2N}{\lambda} \left[2\theta_r + \theta_{r+1} - \frac{\beta}{\lambda} (w_{r+1} - w_r) \right] - \nu N \ddot{w}_r$$

$$M_{r,r+1} = -\frac{2N}{\lambda} \left[2\theta_r + \theta_{r+1} - \frac{\beta}{\lambda} (w_r - w_{r+1}) \right] - \nu N \ddot{w}_r$$

$$Q_{r,r+1} = \frac{M_{r+1} - M_r - N(1-\nu)(\ddot{w}_{r+1} - \ddot{w}_r)}{\lambda} + \frac{\lambda}{6} \left[(2\ddot{M}_{r,r+1} + \ddot{M}_{r+1,r}) - N(1-\nu)(2\ddot{w}_r + \ddot{w}_{r+1}) \right]$$

$$Q_{r,r+1} = \frac{M_r - M_{r+1} - N(1-\nu)(\ddot{w}_r - \ddot{w}_{r+1})}{\lambda} - \frac{\lambda}{6} \left[(\ddot{M}_{r+1,r} + 2\ddot{M}_{r,r+1}) - N(1-\nu)(\ddot{w}_{r+1} + 2\ddot{w}_r) \right]$$

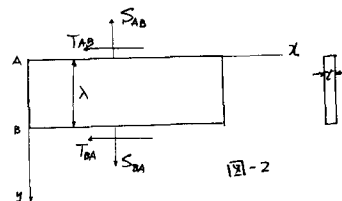
4. 平面応力の帯板要素公式

$$T_{AB} = E t \lambda (2\ddot{u}_A + \ddot{u}_B) + \frac{S_{AB} - S_{BA}}{\lambda}$$

$$Gt\ddot{v}_s = Gt \frac{\dot{u}_A - \dot{u}_B}{\lambda} + \frac{S_{AB} - S_{BA}}{\lambda}$$

T: セン断力 U: 軸変位

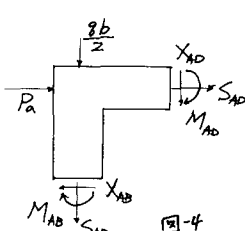
S: 法線力 : x 軸



5. つり合い条件式

断面の軸方向歪を無視する。対称荷重が作用

上下両端は同じ変位を生ずるものとする。

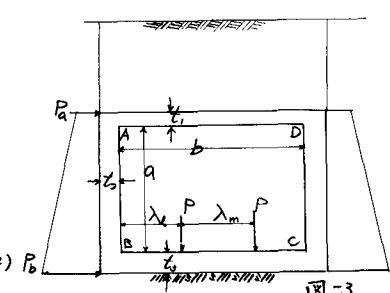


つり合ひ条件 $w_A = w_B, w_c = w$

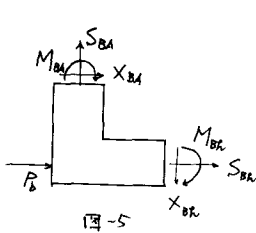
i) A 点

$$\sum M = 0 : M_{AB} + M_{AD} = 0 \quad \dots (1)$$

$$\sum V = 0 : \frac{8b}{2} + X_{AD} + S_{AB} = 0 \quad \dots (2)$$



$$\sum H = 0 : P_A - X_{AB} + S_{AB} = 0 \quad \dots \dots \quad (3) \quad \sum T = 0 : T_{AD} + T_{AB} = 0 \quad \dots \dots \quad (4)$$



ii) B点

$$Gt_2 \ddot{w}_B = Gt_2 \frac{\dot{u}_B - \dot{u}_A}{a} + \frac{S_{AB} - S_{BA}}{a} \quad \dots \dots \quad (5)$$

$$\sum M = 0 : M_{BA} + M_{BR} = 0 \quad \dots \dots \quad (6) \quad \sum V = 0 : S_{BA} - X_{BR} = 0 \quad \dots \dots \quad (7)$$

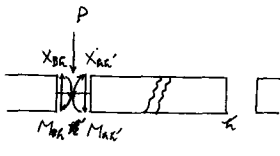
$$\sum H = 0 : P_B + X_{BA} + S_{BR} = 0 \quad \dots \dots \quad (8) \quad \sum T = 0 : T_{BA} + T_{BR} = 0 \quad \dots \dots \quad (9)$$

iii) R点

$$\sum M = 0 : M_{AB} + M_{AR} = 0 \quad \dots \dots \quad (10), \quad \sum V = 0 : Q_{AR} - Q_{AB} = -P \quad \dots \dots \quad (11)$$

$$\sum T = 0 : T_{AR} + T_{AB} = 0 \quad \dots \dots \quad (12)$$

$$V_{AB} = V_{AR} : Gt_2 \frac{\dot{u}_R - \dot{u}_A}{\lambda_e} + \frac{S_{BA} - S_{BR}}{\lambda_e} = 0 \quad \dots \dots \quad (13) \text{ (対称故)}$$



普通平板、弾性床上板の帯板要素公式、平面応力の帯板要素公式より、エーテル、せん断力等を各点ごと求め、つり合い条件式に代入し、これらの方から法線力を消去し、対称条件、境界条件 (simple support) を考慮して方程式を変換して整理すると

$$(1) \leftrightarrow \frac{N_2}{a} C_1 \bar{\theta}_A + \frac{2N_2}{a} \bar{\theta}_B - \nu N_1 \left(\frac{m\pi}{\ell} \right)^2 \bar{w}_B + a^2 L_1 \bar{s}_0 = 0$$

$$(6) \leftrightarrow \frac{2N_2}{a} \bar{\theta}_A + \frac{N_3}{\lambda_e} C_2 \bar{\theta}_B + \frac{N_3}{\lambda_e} \frac{2\phi_e}{k_e} \bar{\theta}_B + \frac{N_3}{\lambda_e^2} C_3 \bar{w}_B - \frac{N_3}{\lambda_e^2} \frac{\phi_e}{k_e} \bar{w}_B + a^2 L_2 \bar{s}_0 = 0$$

$$(10) \leftrightarrow \frac{N_3}{\lambda_e} \frac{2\phi_e}{k_e} \bar{\theta}_B + \frac{N_3}{\lambda_e} C_4 \bar{\theta}_B + \frac{N_3}{\lambda_e^2} \frac{\phi_e}{k_e} \bar{w}_B - \frac{N_3}{\lambda_e^2} C_5 \bar{w}_B = 0$$

$$(11) \leftrightarrow \frac{N_3}{\lambda_e^2} \frac{\phi_e}{k_e} \bar{\theta}_B + \frac{N_3}{\lambda_e^2} C_6 \bar{\theta}_B - \frac{N_3}{\lambda_e^3} L_1 \bar{w}_B - \frac{N_3}{\lambda_e^3} L_2 \bar{w}_B = -\bar{P}$$

$$(12), (15), (17) \leftrightarrow -\frac{N_1}{a} \nu \left(\frac{m\pi}{\ell} \right)^2 \bar{\theta}_A - \frac{N_3}{a \lambda_e^2} C_3 \bar{\theta}_B - \frac{N_3}{a \lambda_e^2} \frac{\phi_e}{k_e} \bar{\theta}_B - \frac{N_3}{a \lambda_e^3} L_3 \bar{w}_B - \frac{N_3}{a \lambda_e^3} L_4 \bar{w}_B + L_3 \bar{s}_0 = 0$$

$$(4), (15) \leftrightarrow Gt_2 \left(\frac{m\pi}{\ell} \right)^2 \bar{w}_B + E L_5 \bar{u}_A - E L_6 \bar{u}_B + E L_7 \bar{u}_B = 0$$

$$(5), (19) \leftrightarrow Gt_2 \left(\frac{m\pi}{\ell} \right)^2 \bar{w}_B - E L_8 \bar{u}_A + E L_9 \bar{u}_B = 0$$

$$(12), (13) \leftrightarrow E L_{10} \bar{u}_B - E L_{11} \bar{u}_A = 0$$

22.12

$$C_1 = 4 + 2 \frac{a}{b} \frac{N_1}{N_2}, \quad C_2 = 4 \frac{N_2}{N_3} \lambda_e + \frac{\beta_e}{k_e}, \quad C_3 = \nu \left(\frac{m\pi}{\ell} \right)^2 \lambda_e^2 + \frac{\phi_e}{k_e}, \quad C_4 = \frac{\beta_e}{k_e} + \frac{\lambda_e}{\lambda_m} \frac{\beta_m - 2\lambda_m}{k_m}$$

$$C_5 = \frac{\phi_e}{k_e} + \frac{\lambda_e^2}{\lambda_m^2} \frac{\phi_m - \phi_m}{k_m}, \quad L_1 = 2D_e \left(\frac{m\pi}{\ell} \right)^4 \lambda_e^4 + \left(\frac{2d_e \phi_e - \beta_e \phi_e}{k_e} - 2J_e \left(\frac{m\pi}{\ell} \right)^2 \lambda_e^2 \right) + (K \lambda_e^2)^2 \lambda_e^2 - \frac{D_e \phi_e + 2J_e \phi_e}{k_e}$$

$$L_2 = \left\{ \frac{\lambda_e}{\lambda_m} (2\lambda_m + \beta_m) + \beta_e \right\} \left(\frac{m\pi}{\ell} \right)^4 \lambda_e^4 + \left\{ D_e + \frac{\beta_e \phi_e - 2d_e \phi_e}{k_e} + \frac{\lambda_e}{\lambda_m} (D_m - 2J_m) + \frac{\lambda_e}{\lambda_m} \frac{(2\lambda_m + \beta_m)(\phi_m - \phi_m)}{k_m} \right\} \left(\frac{m\pi}{\ell} \right)^2 \lambda_e^2$$

$$+ \left\{ \frac{D_e \phi_e + 2J_e \phi_e}{k_e} - \frac{\lambda_e^3}{\lambda_m^2} \frac{(2J_m + D_m)(\phi_m - \phi_m)}{k_m} \right\} + \frac{K}{N_3} \lambda_e^4 \beta_e + \frac{K}{N_3} \lambda_m \lambda_e^2 (2\lambda_m + \beta_m)$$

$$L_3 = \left(\frac{b}{2a} \frac{N_1}{N_2} + \frac{\lambda_e}{a} \beta_e \right) \left(\frac{m\pi}{\ell} \right)^4 a \lambda_e^3 + \left(\frac{\beta_e \phi_e - 2d_e \phi_e}{k_e} + D_e + \frac{G}{N_3} t_2 a \lambda_e \left(\frac{m\pi}{\ell} \right)^2 \lambda_e^2 + \left(\frac{D_e \phi_e + 2J_e \phi_e}{k_e} + \frac{K}{N_3} \lambda_e^4 \beta_e \right) \right)$$

$$I_4 = 2\lambda_e \left(\frac{m\pi}{\ell} \right)^2 \lambda_e^2 + \left(\frac{-2\lambda_e t_0 - 3\lambda_e t_0}{t_0} - 2\lambda_e \right) \left(\frac{m\pi}{\ell} \right)^2 \lambda_e^2 + \left(\frac{K}{\lambda_e} \lambda_e^4 \cdot 2\lambda_e - \frac{2\lambda_e t_0 + D\lambda_e t_0}{t_0} \right)$$

$$I_5 = -\lambda_e t_0 \left(\frac{m\pi}{\ell} \right)^2 + \frac{G}{E} \frac{t_0}{a}, I_6 = 2\lambda_e t_0 \left(\frac{m\pi}{\ell} \right)^2 \left(1 + \frac{\lambda_e t_0}{\lambda_e t_0} \right) + \frac{G}{E} \frac{t_0}{\lambda_e} \left(1 + \frac{\lambda_e t_0}{\lambda_e t_0} \right)$$

$$I_7 = -\lambda_e t_0 \left(\frac{m\pi}{\ell} \right)^2 + \frac{G}{E} \frac{t_0}{\lambda_e}, I_8 = 2\lambda_e t_0 \left(\frac{m\pi}{\ell} \right)^2 \left(1 + \frac{3\lambda_e}{2\lambda_e} \right) + \frac{G}{E} \frac{t_0}{a}$$

$$I_9 = -\lambda_e t_0 \left(\frac{m\pi}{\ell} \right)^2 + \frac{G}{E} \frac{t_0}{a}, I_{10} = -\lambda_e t_0 \left(\frac{m\pi}{\ell} \right)^2 + \frac{G}{E} \frac{t_0}{\lambda_e}, I_{11} = 2\lambda_e t_0 \left(\frac{m\pi}{\ell} \right)^2 \left(1 + \frac{3\lambda_e}{2\lambda_e} \right) + \frac{G}{E} \frac{t_0}{\lambda_e}$$

$$L_1 = \frac{C_{AD} + C_{AB}}{2 \cdot G^2}, L_2 = \frac{C_{BA}}{2 \cdot G^2}, L_3 = \frac{-2C_{AD}}{bu_0^2} + \frac{b}{2a}$$

の連立方程式を解き、差変換 \bar{x}_3 と \bar{x}_2 から各断面力を求める。

6. 数値計算

土の単重 1.65 t/m^3 、内部摩擦角 30° 、粘着力なし。ラレキン公式による土圧を求めた。

$b = 10''$, $a = 5''$, $\ell = 25''$, $t_0 = 20''$, $t_1 = 30''$, $t_2 = 40''$, $P = 10^5$, $E = 3 \times 10^5 \text{ N/mm}^2$, $\nu = 0.0$

$K = 5 \text{ t/mm}^2$, 土のせり返し $2''$, $\lambda_1 = 2.5''$

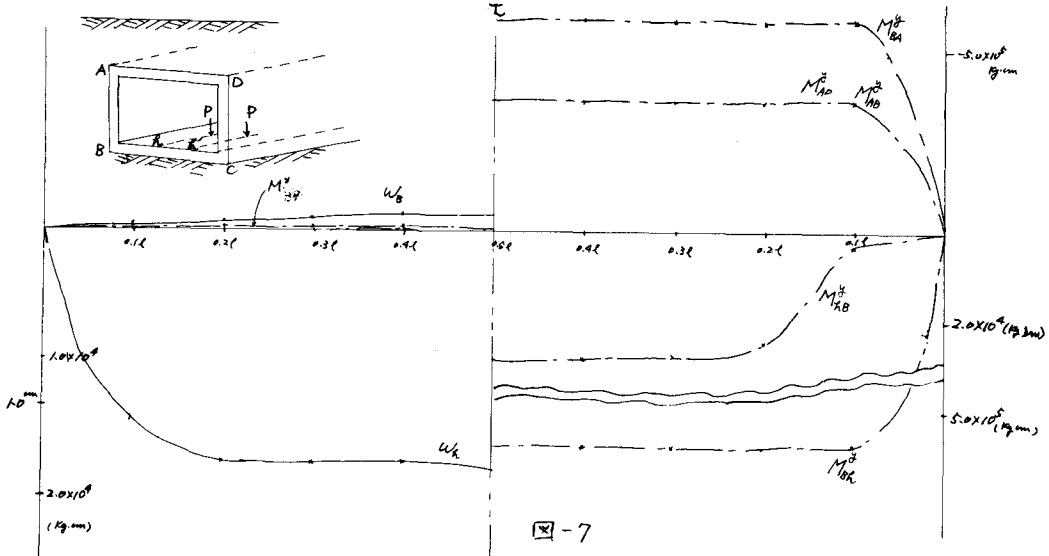


図-7

正すべき

普通平板、弹性床上板の帯板要素公式、平面応力の帯板要素公式の応用として対称構造のボックスカルバートを扱ったが、一般構造、さらには振動問題へと解き進めた予定である。

参考文献

Sumio G. Nomachi: On Bending of Multi-Element Plate, Reprinted from the Memoirs of the Muroran Institute Technology (Science and Engineering) Vol.6 No.2 July 1968

能町、松岡、堀米：帯板要素による応力解析法、土木学会北海道支部、研究発表論文集、(昭和44年度)